

# Мотивация к измерению дифференциального сечения рождения $\pi^0$ мезона в рр столкновениях

Владислав Кусков Национальный исследовательский ядерный университет «МИФИ»

25 апреля 2025

vakuskov@mephi.ru

### Введение

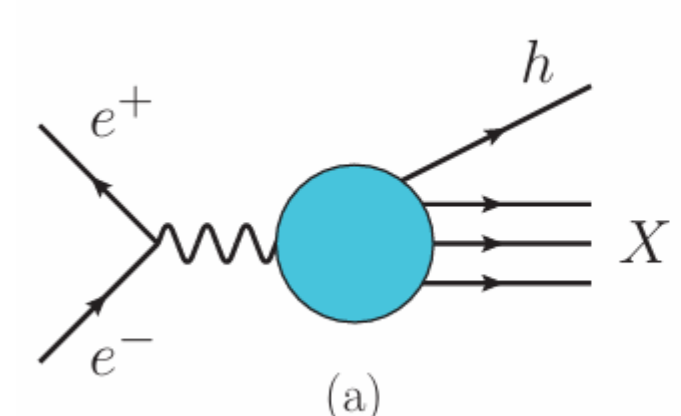
Диссертация посвящена измерению дифференциального сечения рождения инклюзивных  $\pi^0$  мезонов в pp столкновениях при  $\sqrt{s}$  = 13 ТэВ

Экспериментальные данные по измерению дифференциальных сечений рождения  $\pi^0$  мезонов в столкновениях частиц вносят вклад в:

- Изучение механизма адронизации в жестких процессах КХД: структурные функций (PDF) адронов и нуклонов (nPDF), а функции фрагментации (FF) партонов в легкие кварки
- Измерение выхода прямых фотонов: оценка фона фотонов от распада адронов
- Исследование феноменологических моделей масштабирования:  $m_{\mathsf{T}}$ -масштабирование

# Жесткие процессы КХД

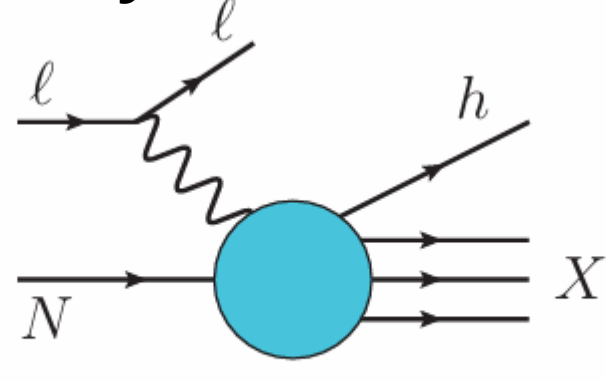
#### Реакции для изучения жестких процессов

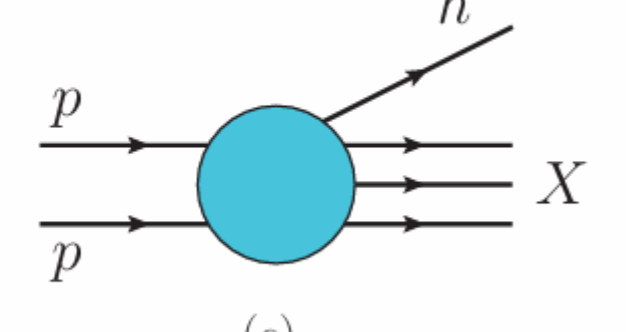


Single-Inclusive Annihilation (SIA):

$$e^+e^- \to h + X$$
  
 $\sigma^{e^+e^- \to hX} = \hat{\sigma} \otimes FF$ 

- + «чистые» данные
- + зависимость только от FF (без PDF)
- + В-меченные струи/адроны
- слабый вклад глюонной FF
- не различает q и анти-q FF





Semi-Inclusive Deep-Inelastic

Scattering (SIDIS):

$$I + N \rightarrow h + X$$

$$\sigma^{\ell N \to \ell h X} = \hat{\sigma} \otimes PDF \otimes FF$$

- + разделение на q и анти-q
- + разделение ароматов
- зависимость от PDF

рр столкновения:

$$p + p \rightarrow h + X$$

$$\sigma^{pp \to hX} = \hat{\sigma} \otimes PDF \otimes PDF \otimes FF$$

- + возможно разделение q и анти-q
- + широкий диапазон по z
- + большой вклад глюонной PDF
- зависимость от PDF
- «грязные» данные

# Функция фрагментации

#### Зарядовая четность:

$$D_1^{\pi^+/u} = D_1^{\pi^-/\bar{u}}$$

$$D_1^{\pi^+/d} = D_1^{\pi^-/\bar{d}}$$

$$D_1^{\pi^+/\bar{d}} = D_1^{\pi^-/d}$$

$$D_1^{\pi^+/g} = D_1^{\pi^-/g}$$

#### Изоспиновая симметрия:

$$D_1^{\pi^+/u} = D_1^{\pi^-/d}$$
$$D_1^{\pi^+/d} = D_1^{\pi^-/u}$$



#### Сокращение до трех независимых FF:

$$\begin{split} D_1^{\text{fav}} &\equiv \ D_1^{\pi^+/u} = D_1^{\pi^+/\bar{d}} = D_1^{\pi^-/d} = D_1^{\pi^-/\bar{u}} \\ D_1^{\text{dis}} &\equiv \ D_1^{\pi^+/d} = D_1^{\pi^+/\bar{u}} = D_1^{\pi^-/u} = D_1^{\pi^-/\bar{d}} \\ D_1^{\pi^+/g} &= D_1^{\pi^-/g} \end{split}$$

где  $D_1^{h/i}(z)$ -- функция фрагментации партона i в адрон h

Тогда для  $\pi^0$  мезона функция фрагментации примет вид:

$$D_1^{\pi^0/q} = \frac{1}{2} \left( D_1^{\pi^+/q} + D_1^{\pi^-/q} \right)$$

При этом справедлива нормировка:

$$\sum_{h} \sum_{S_{h}} \int_{0}^{1} dz \, z \, D_{1}^{h/q}(z) = 1$$

Отсюда можно дать **определение FF**: количество адронов h, рожденных при фрагментации партона q (кварка или глюона), и уносящих долю импульса родительского партона [z,z+dz]

# Функция фрагментации в $e^+e^- \rightarrow h + X$ (SIA)

Для этой реакции сечение принимает вид:

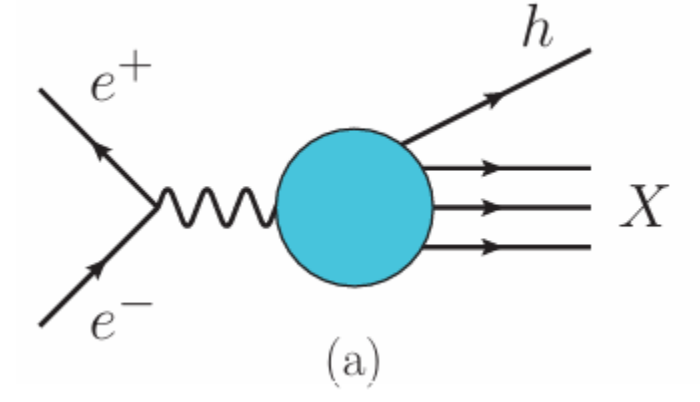
$$\frac{1}{\sigma_{\text{tot}}} \frac{d\sigma^{e^+e^- \to hX}}{dz} = F^h(z, Q^2), \quad z = \frac{2E_h}{\sqrt{s}}$$

Для  $e^+e^-$  функция фрагментации  $F^h(z,Q^2)$ принимает смысл множественности адронов hв событии

Функция фрагментации:

$$F^{h} = \frac{1}{\sum_{q} e_{q}^{2}} \left( 2F_{1}^{h}(z, Q^{2}) + F_{L}^{h}(z, Q^{2}) \right)$$

$$F^{h} = \frac{1}{\sum_{z} e_{z}^{2}} \left( 2F_{1}^{h}(z, Q^{2}) + F_{L}^{h}(z, Q^{2}) \right)$$



#### Особенности реакции:

- Нечувствительна к  $D^{h/g}$  (из-за малости  $\alpha_s$ )
- Основная вклад составляет  $\sum_a e_a^2 D_1^{h/q}$ т.е. из-за заряда тяжелые кварки доминируют
- Не разделяет FF от q и анти-q
- Дополнительно можно разделить вклады от разных ароматов отбирая события:  $e^+e^- \to h_1h_2X$

$$2F_1^h(z,Q^2) = \sum_q e_q^2 \left( D_1^{h/q}(z,Q^2) + \frac{\alpha_s(Q^2)}{2\pi} \left( C_1^q \otimes D_1^{h/q} + C_1^g \otimes D_1^{h/g} \right) (z,Q^2) \right),$$

$$F_L^h(z,Q^2) = \frac{\alpha_s(Q^2)}{2\pi} \sum e_q^2 \Big( C_L^q \otimes D_1^{h/q} + C_L^g \otimes D_1^{h/g} \Big) (z,Q^2) .$$

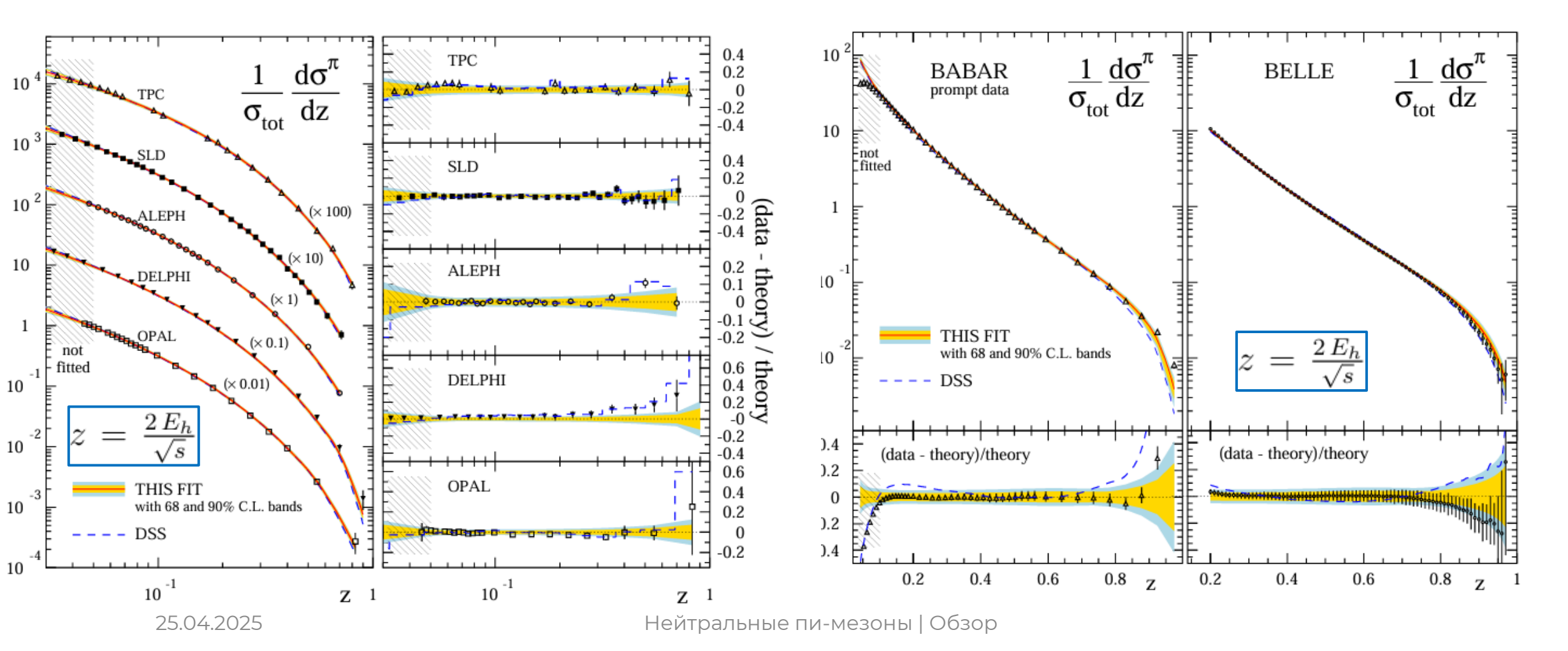
# Эксперименты SIA

#### Основные эксперименты:

- TESSO на PETRA, DESY, √s = 34 ГэВ, 44 ГэВ
- SLD на SLC, SLAC
- ALEPH, DEPLHI, OPAL Ha LEP, CERN, √s = 100-130 Γ∋B

#### Основные эксперименты:

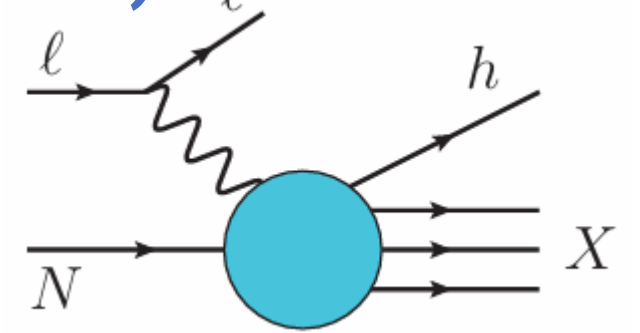
- BABAR на SLC, SLAC
- BELLE на KEK, Цукуба



# Функция фрагментации в $I + N \rightarrow h + X$ (SIDIS)

Для этой реакции сечение принимает вид:

$$\frac{d^3\sigma^{\ell p \to \ell h X}}{dx\,dy\,dz} = \frac{2\pi\alpha_{\rm em}^2}{Q^2} \left(\frac{1+(1-y)^2)}{y} \, 2F_1^h(x,z,Q^2) + \frac{2(1-y)}{y} \, F_L^h(x,z,Q^2)\right)$$



Функция фрагментации:

$$2F_{1}^{h}(x,z,Q^{2}) = \sum_{q} e_{q}^{2} \left[ f_{1}^{q/p} D_{1}^{h/q} + \frac{\alpha_{s}(Q^{2})}{2\pi} \left( f_{1}^{q/p} \otimes C_{1}^{qq} \otimes D_{1}^{h/q} \otimes D_{1}^{h/q} + f_{1}^{q/p} \otimes C_{1}^{gq} \otimes D_{1}^{h/q} \otimes D_{1}^{h/q} \right) \right],$$

$$+ f_{1}^{q/p} \otimes C_{1}^{gq} \otimes D_{1}^{h/q} + f_{1}^{g/p} \otimes C_{1}^{qg} \otimes D_{1}^{h/q} \right) \right],$$

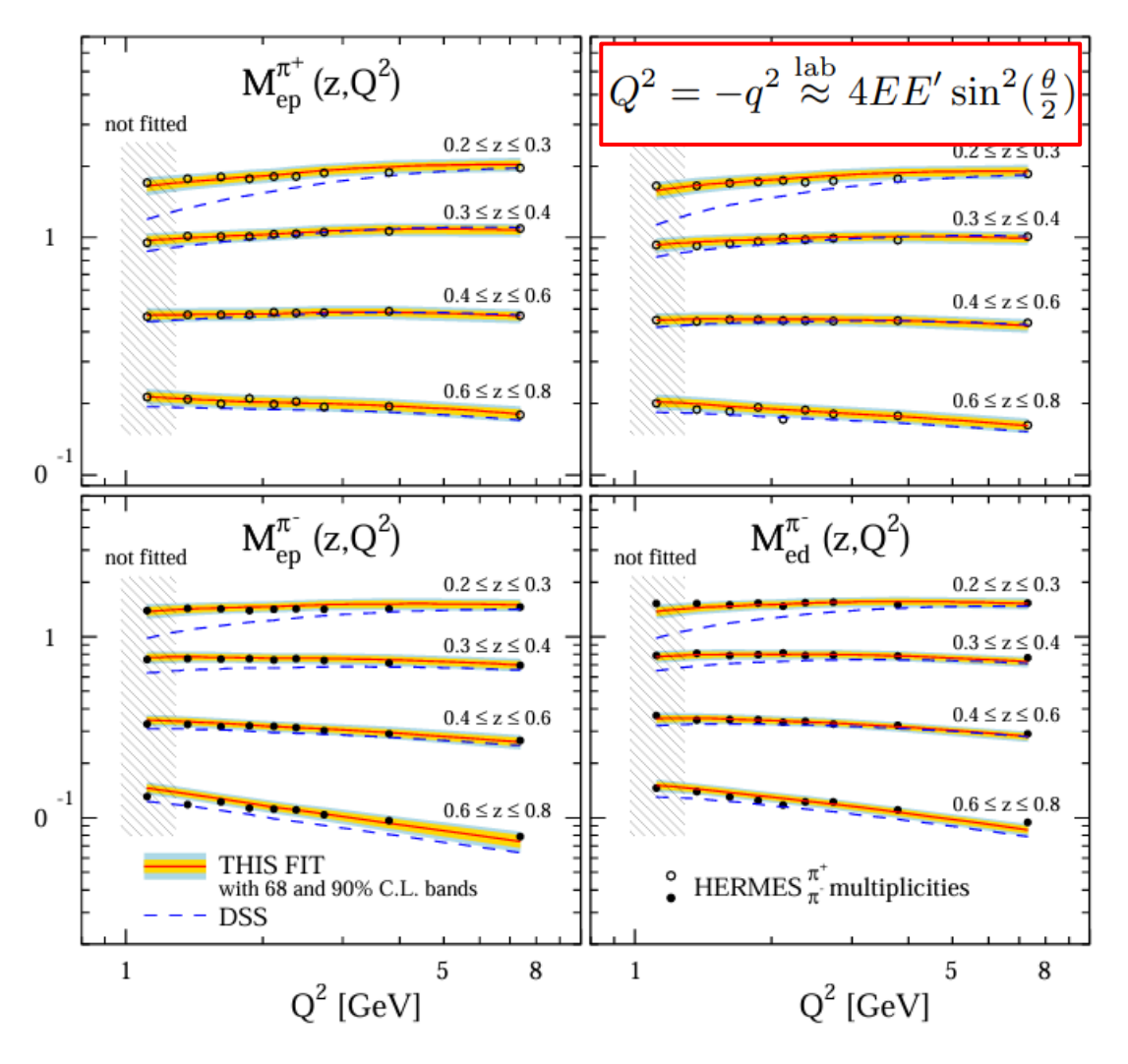
$$F_{L}^{h}(x,z,Q^{2}) = \frac{\alpha_{s}(Q^{2})}{2\pi} \sum_{q} e_{q}^{2} \left( f_{1}^{q/p} \otimes C_{L}^{qq} \otimes D_{1}^{h/q} + f_{1}^{q/p} \otimes C_{L}^{gq} \otimes D_{1}^{h/q} + f_{1}^{g/p} \otimes C_{L}^{qg} \otimes D_{1}^{h/q} \right)$$

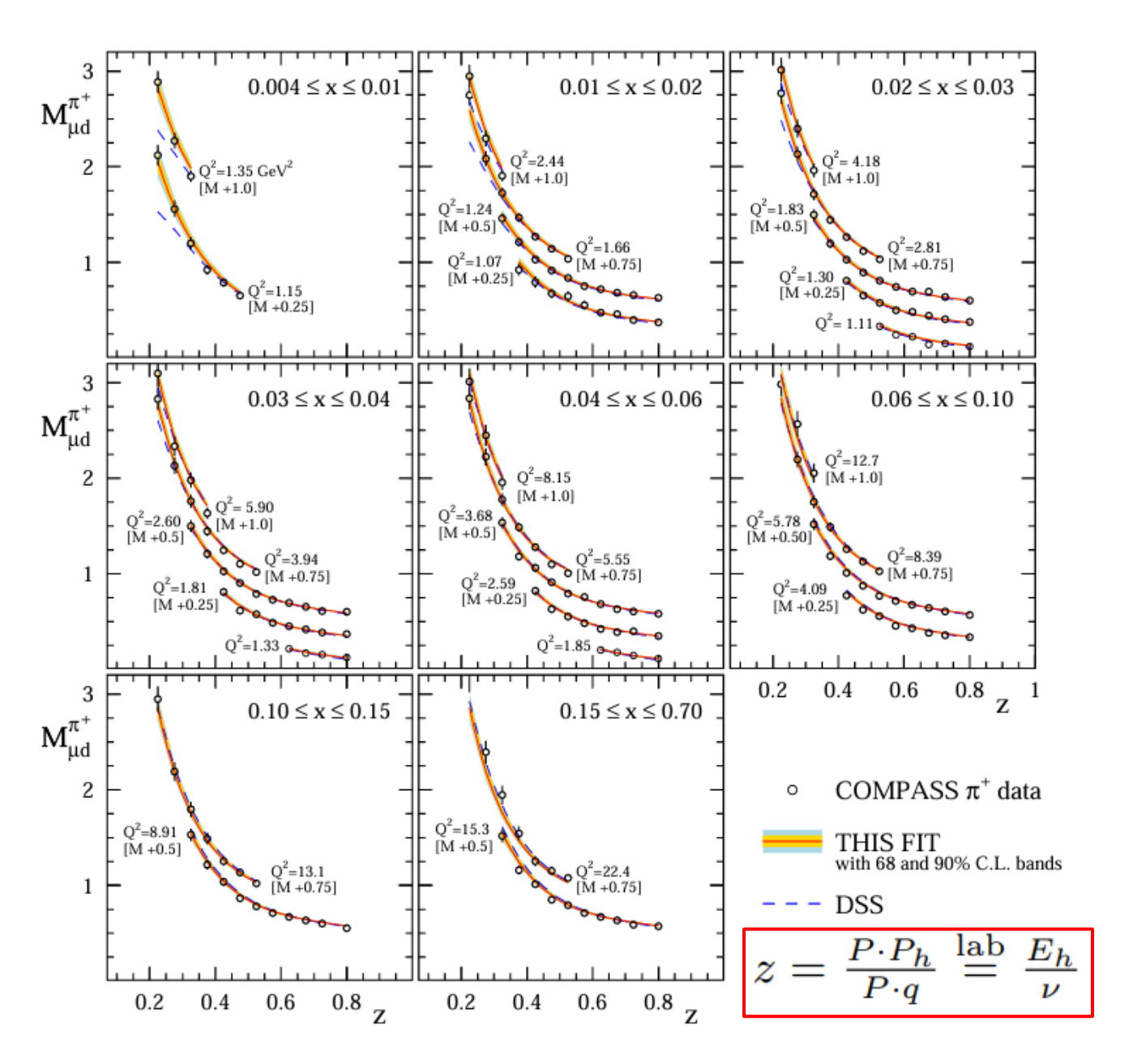
#### Особенности реакции:

- наличие структурной функции  $f^{q/p}$  позволяет оценивать вклад глюонов в фрагментацию
- разделение аромата и заряда (благодаря  $f^{q/p}$ )
- НО вводится зависимость от PDF

# Эксперименты SIDIS

- HERMES на HERA, DESY
- COMPASS на SPS, CERN





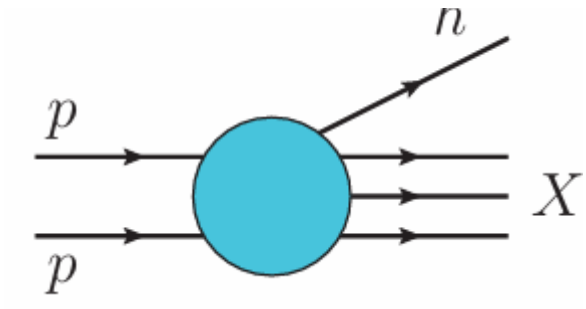
# Функция фрагментации в $pp \rightarrow h + X$

Для этой реакции сечение принимает вид:

$$\frac{E_h d^3 \sigma^{pp \to hX}}{d^3 P_h} = \sum_{i,j,k,l} \int \frac{dx_a}{x_a} \int \frac{dx_b}{x_b} \int \frac{dz}{z^2} f_1^{i/p_a}(x_a) f_1^{j/p_b}(x_b) D_1^{h/k}(z) \hat{\sigma}^{ij \to kl} \delta(\hat{s} + \hat{t} + \hat{u})$$

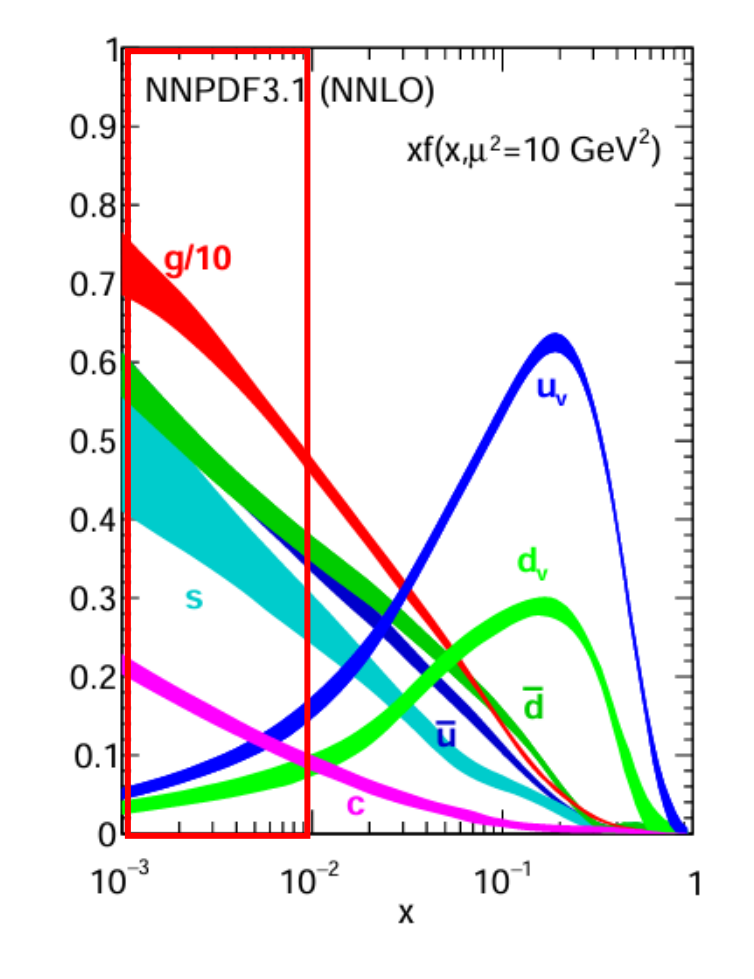
#### Особенности реакции:

- глюонная FF доминирует
- сильная зависимость от PDF
- «грязные» данные



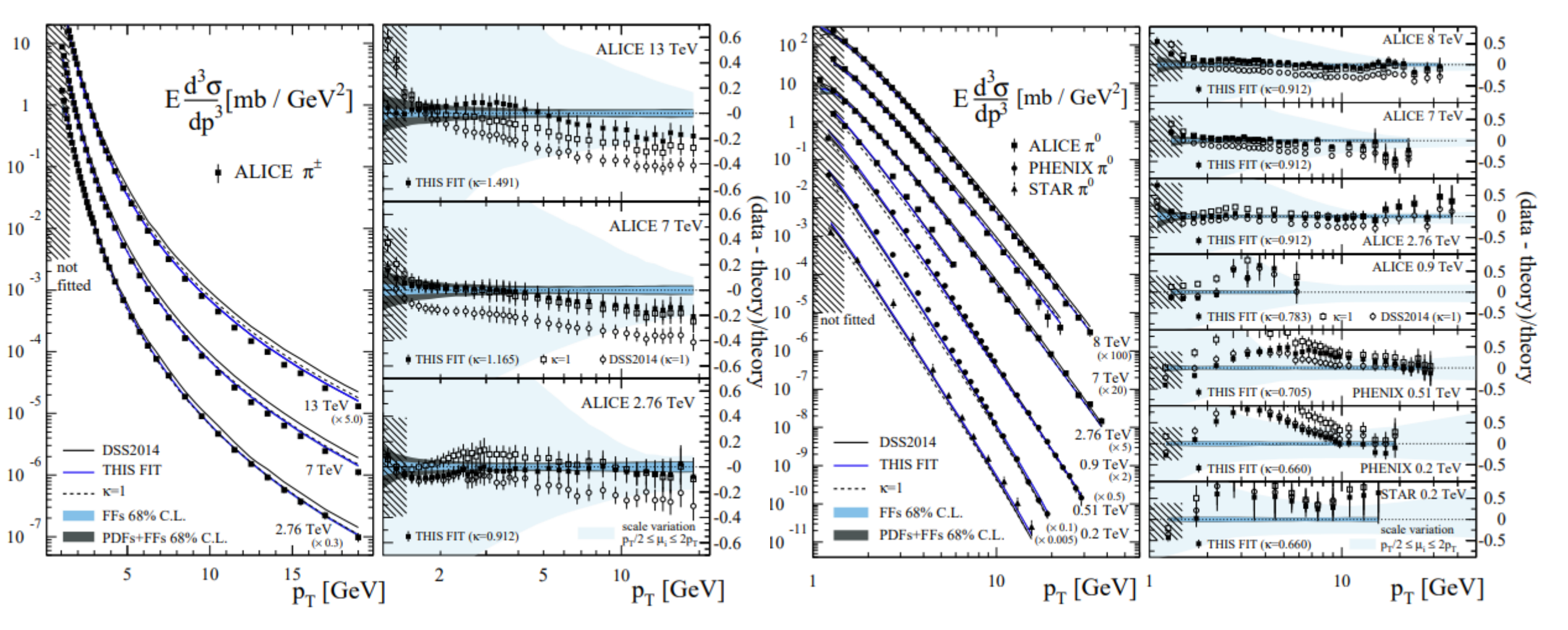
Возможность улучшить **определение** *z*: лидирующие адроны внутри струй

$$\frac{d^3 \sigma^{pp \to (h, \text{jet})X}}{dP_T^{\text{jet}} d\eta^{\text{jet}} dz} \propto \sum_{i, j, k} f_1^{i/p_a}(x_a) \otimes f_1^{j/p_b}(x_b) \otimes \hat{\sigma}^{ij \to k \text{jet}} \otimes D_1^{h/p_k}(\frac{z}{z_k})$$



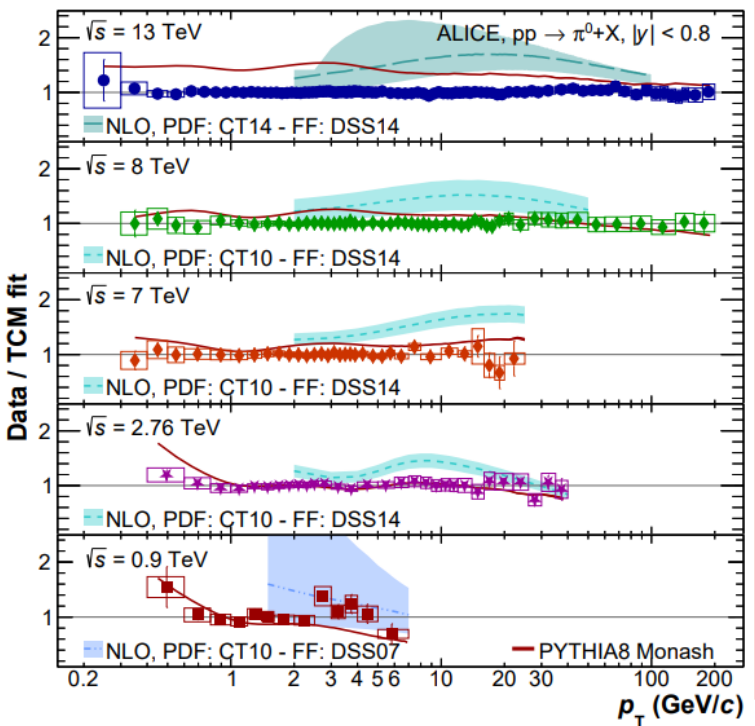
# Эксперименты рр

- STAR, PHENIX, BRAMHS на RHIC, BNL,  $\sqrt{s}$  = 200 ГэВ
- ALICE Ha LHC, CERN,  $\sqrt{s}$  = 0.9, 2.76, 7, 13 T∋B

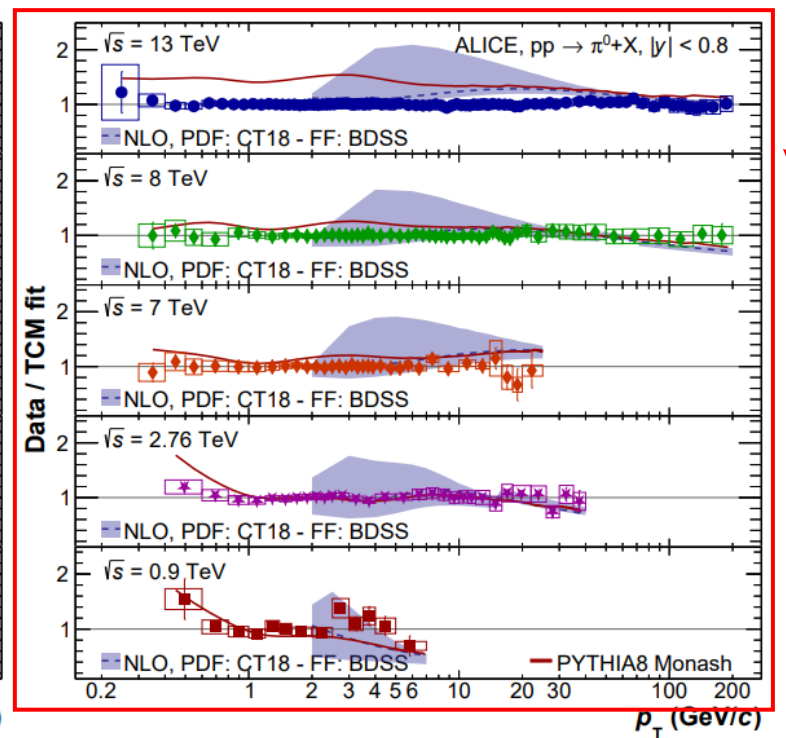


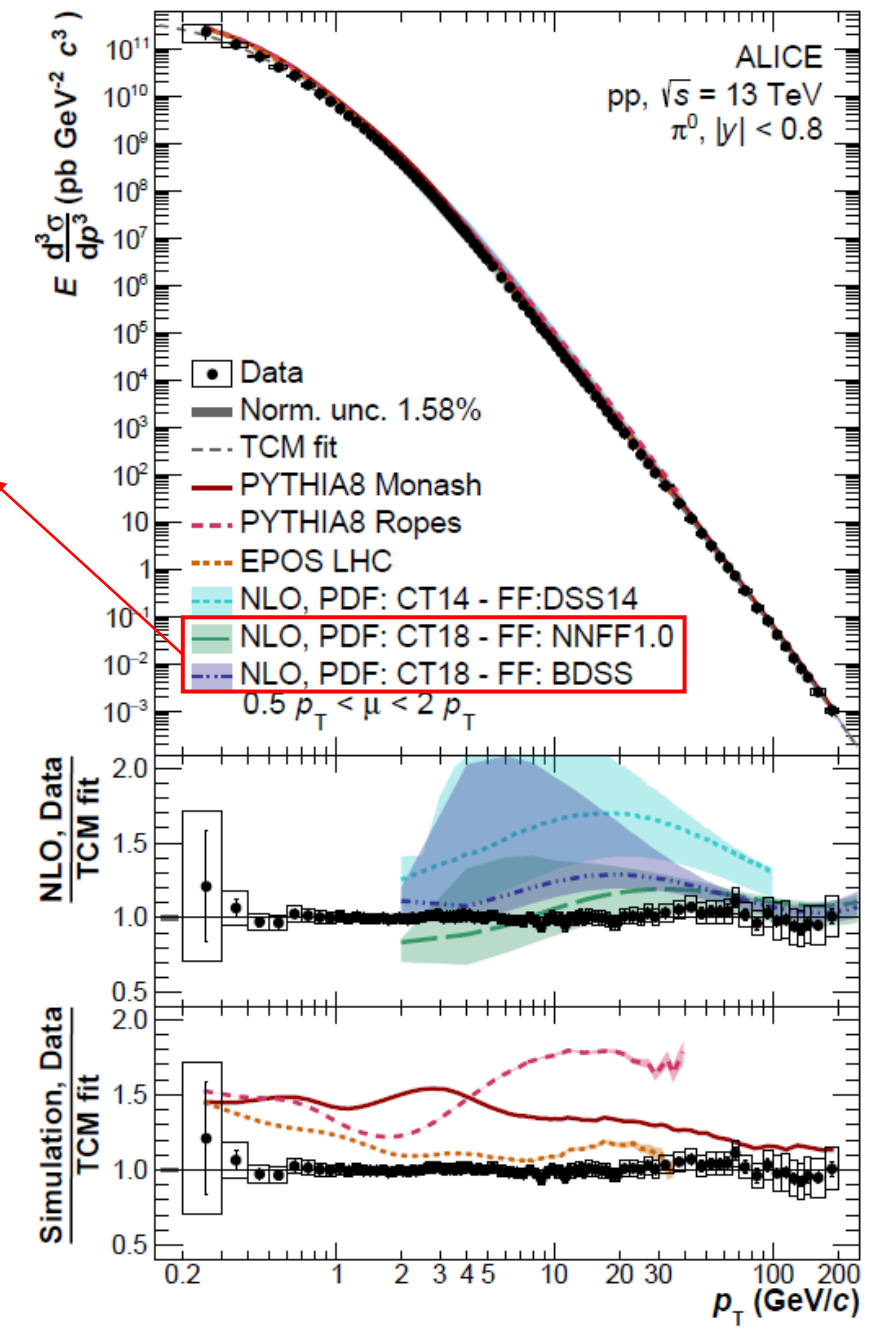
# Результаты ALICE

**Недостаток:** неточная оценка *z* (модельно зависимая)



Учитываю последние данные с рр коллайдеров (прошлый слайд)

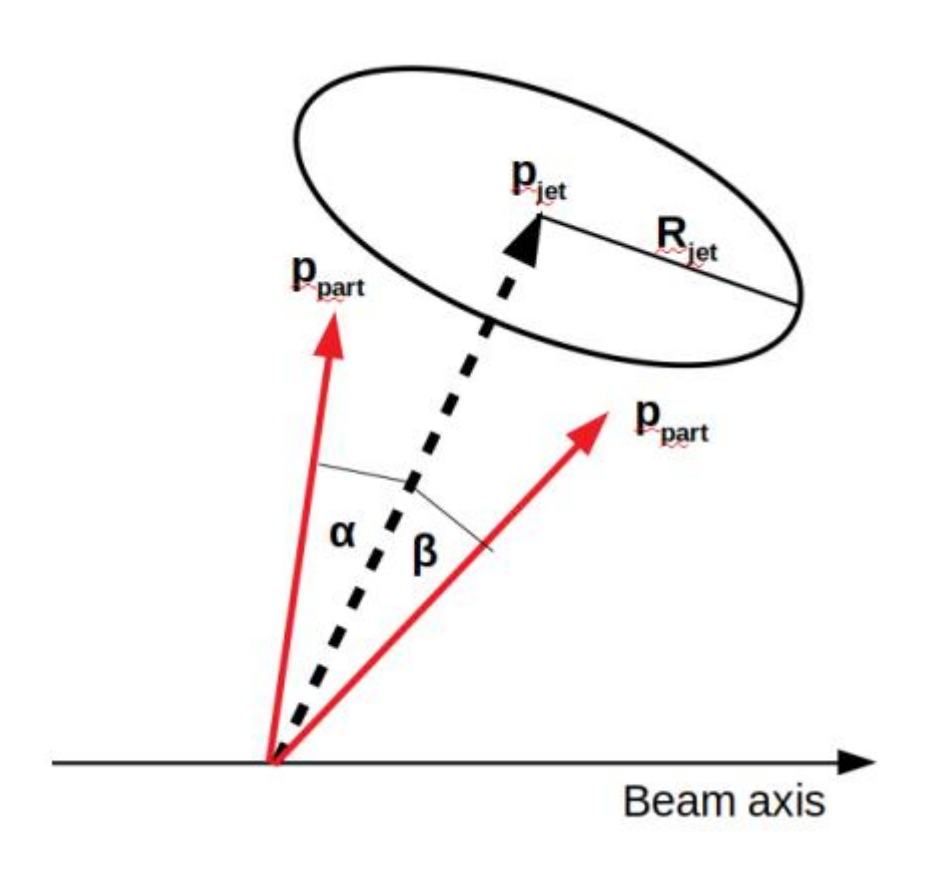


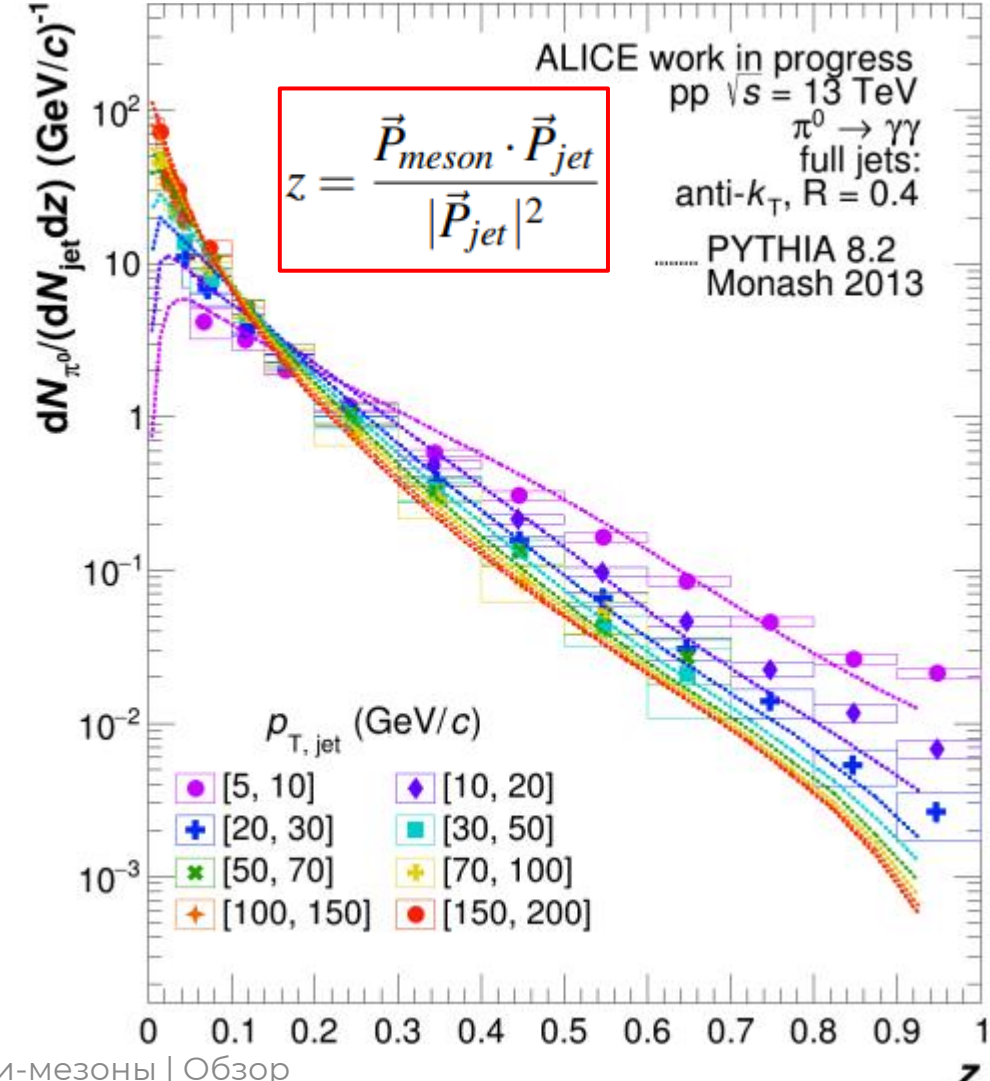


# Результаты ALICE

$$\frac{d^3 \sigma^{pp \to (h, \text{jet})X}}{dP_T^{\text{jet}} d\eta^{\text{jet}} dz} \propto \sum_{i, j, k} f_1^{i/p_a}(x_a) \otimes f_1^{j/p_b}(x_b) \otimes \hat{\sigma}^{ij \to k \text{jet}} \otimes D_1^{h/p_k}(\frac{z}{z_k})$$

Отбор лидирующего адрона (пиона) внутри конуса струи --> прямая возможность измерять *z* 



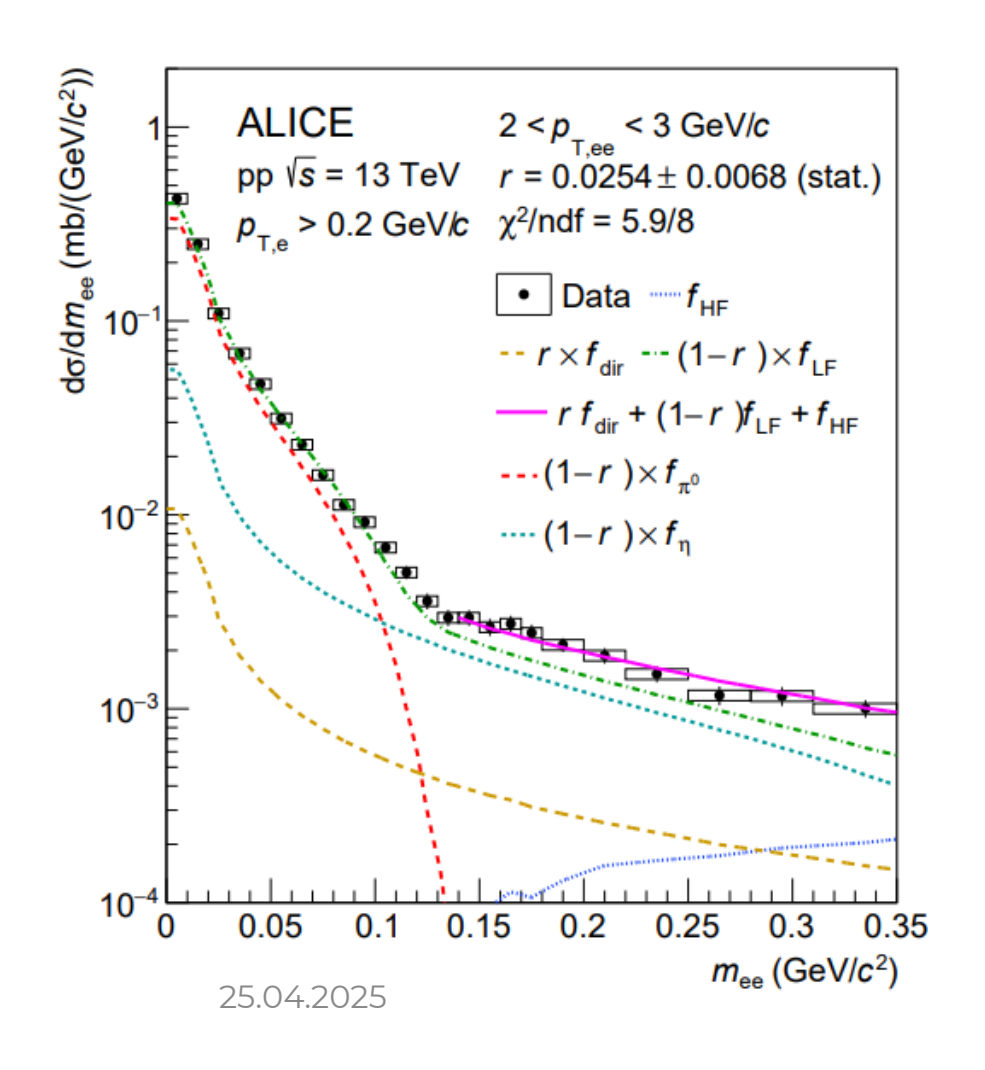


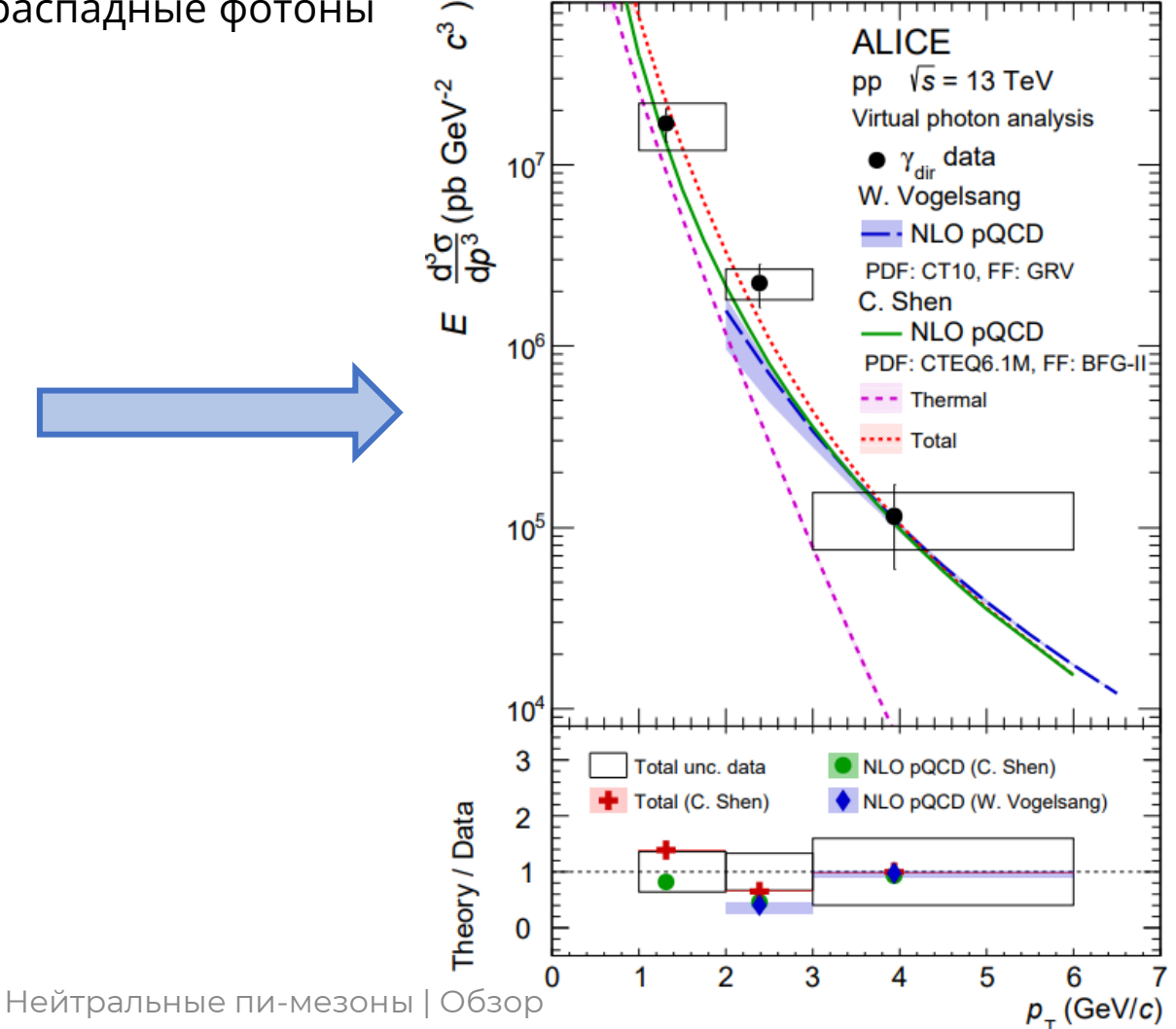
# Вклад в измерение прямых фотонов в рр

Для оценки выхода прямых фотонов в столкновении, необходимо знать выход распадных фотонов

$$\gamma_{\text{dir}} = \gamma_{\text{decay}} \times r/(1-r). \ d\sigma/dm_{\text{ee}} = rf_{\text{dir}}(m_{\text{ee}}) + (1-r)f_{\text{LF}}(m_{\text{ee}}) + f_{\text{HF}}(m_{\text{ee}})$$

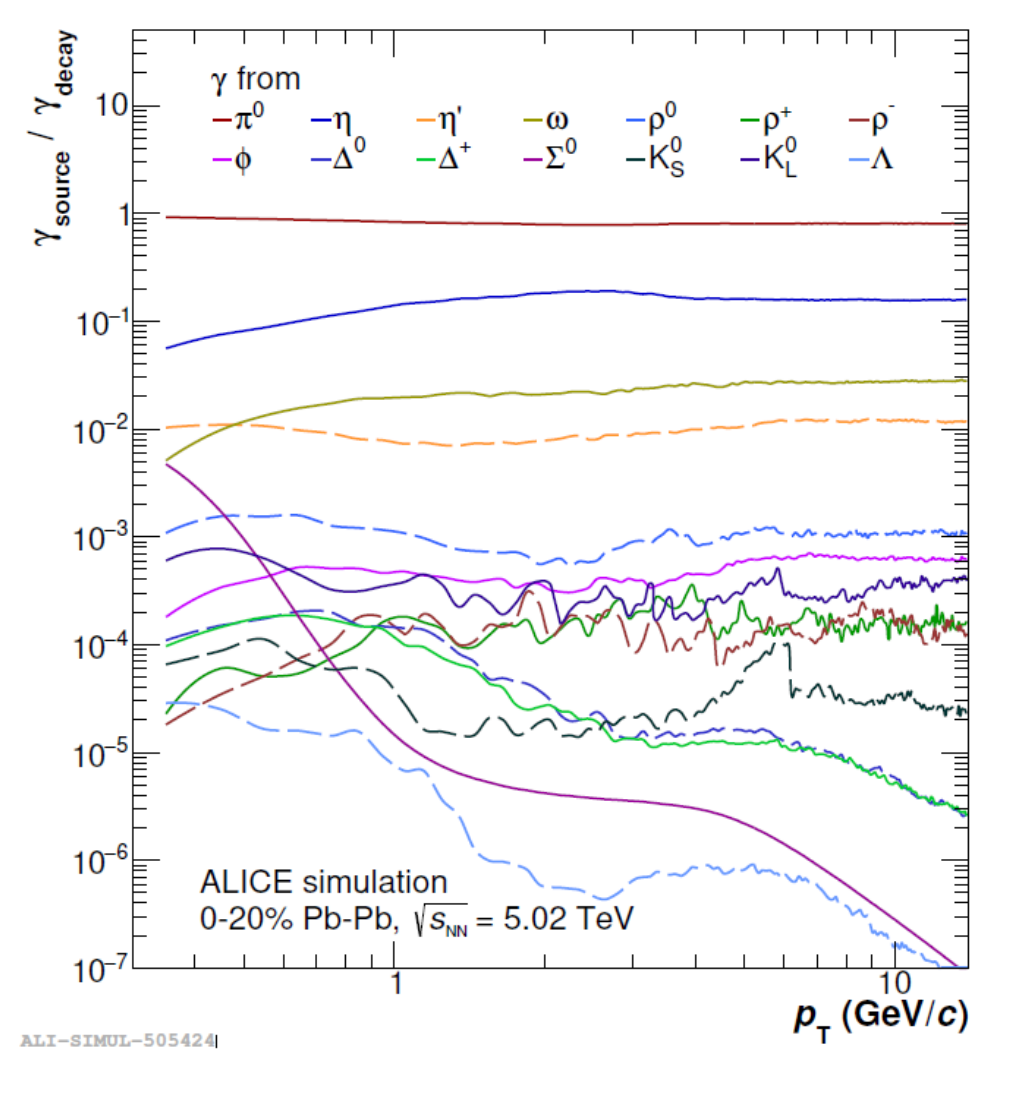
 $\pi^0$  и  $\eta$  мезоны вносят подавляющий вклад в распадные фотоны





### Прямые фотоны в Pb-Pb столкновениях

#### Доля распадных фотонов по адронам:



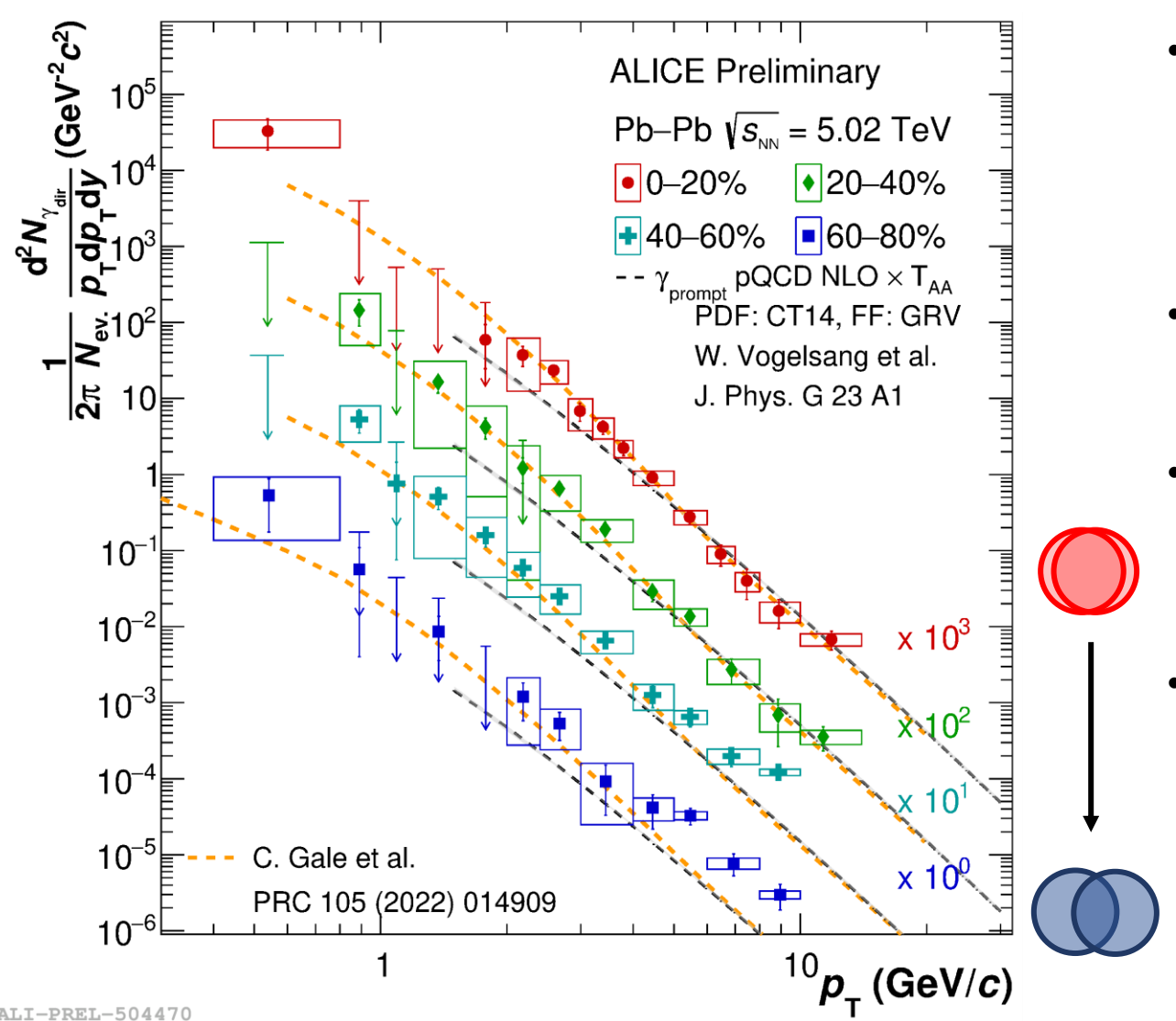
• Выделение сигнала:

выделение сигнала: 
$$\gamma_{\rm dir} = \gamma_{\rm inc} - \gamma_{\rm decay} = (1 - \frac{\gamma_{\rm decay}}{\gamma_{\rm inc}}) \gamma_{\rm inc}$$
 
$$\gamma_{\rm dir} = \left(1 - \frac{1}{R_{\gamma}}\right) \gamma_{\rm inc}$$

- Инклюзивные фотоны: все фотоны в событии
- **Распадные фотоны:** основные вкладчики  $\pi^0$  и η мезоны
- Двойное отношение:

$$R_{\gamma} = \frac{\gamma_{\rm inc}}{\gamma_{
m decay}} \approx \frac{\gamma_{
m inc}/\pi_{
m meas}^0}{\gamma_{
m decay}/\pi_{
m sim}^0}$$

# Прямые фотоны в Pb-Pb при √s<sub>NN</sub> = 5.02 ТэВ



• Инвариантный выход измерен как:

$$\frac{1}{2\pi N_{\text{ev}}} \frac{\mathrm{d}^2 N_{\gamma^{\text{dir}}}}{p_{\text{T}} \, \mathrm{d}p_{\text{T}} \, \mathrm{d}y} = \frac{1}{2\pi N_{\text{ev}}} \frac{\mathrm{d}^2 N_{\gamma^{\text{inc}}}}{p_{\text{T}} \, \mathrm{d}p_{\text{T}} \, \mathrm{d}y} \times \left(1 - \frac{1}{R_{\gamma}}\right)$$

- $p_T > 3 \text{ GeV/}c$  доминирование жестких фотонов (пертурбативная КХД)
- Отнормированные NLO pQCD расчеты в pp столкновениях с использование **PDF:CT14** и **FF:GRV**
- Модель с использование гидродинамики и партонных реакций описывает данные во всем р<sub>т</sub> диапазоне при всех измеренных центральностях

C. Gale et al. Multimessenger heavy-ion collision physics, Phys.Rev.C 105 (2022) 1, 014909

### СПАСИБО ЗА ВНИМАНИЕ!

Владислав Кусков 25 апреля 2025

vakuskov@mephi.ru